

## ЛИТЕРАТУРА

1. Попов В. В. Течение вязкой пленки по поверхности невязкой жидкости. — ПМТФ, 1982, № 2.
2. Рейнер М. Деформация и течение. М.: Гостехиздат, 1963.
3. Буевич Ю. А., Скуратов В. К. О растяжении природной жидкости под действием собственного веса. — Изв. АН СССР. МЖГ, 1975, № 5.
4. Narayanaswamy O. S. A one-dimensional model of stretching float glass. — J. Amer. Ceram. Soc., 1977, vol. 60, N 1—2.
5. Trouton R. T. On the coefficient of viscous traction and its relation to that of viscosity. — Proc. Roy. Soc. Lond., 1906, vol. 77A, N 519.

УДК 532.546

## ОТБОР ЖИДКОСТИ ИЗ ДЕФОРМИРУЕМОГО ПЛАСТА ЧЕРЕЗ ВЫСОКОПРОНИЦАЕМОЕ ОКНО

*A. B. Колмогоров, B. H. Николаевский  
(Якутск, Москва)*

1. В осесимметричном случае система уравнений упругонористого насыщенного жидкостью пласта состоит [1] из уравнений движения для твердой фазы:

$$(1.1) \quad \nabla^2 u_r - \frac{u_r}{r^2} + \frac{1}{1-2\nu} \frac{\partial e}{\partial r} - \frac{2(1-\nu)}{1-2\nu} g \frac{\partial p}{\partial r} = 0,$$

$$\nabla^2 u_z + \frac{1}{1-2\nu} \frac{\partial e}{\partial z} - \frac{2(1-\nu)}{1-2\nu} g \frac{\partial p}{\partial z} = 0,$$

$$e = (1-m_0) \beta_1 K, \quad g = (1-e)(1-2\nu)[2G(1-m_0)(1-\nu)]^{-1},$$

$$\nabla^2 = \frac{\partial^2}{\partial r^2} + \frac{1}{r} \frac{\partial}{\partial r} + \frac{\partial^2}{\partial z^2}, \quad e = \frac{\partial u_r}{\partial r} + \frac{u_r}{r} + \frac{\partial u_z}{\partial z};$$

уравнений движения жидкости:

$$(1.2) \quad \frac{k}{\mu} \frac{\partial p}{\partial r} = -m_0 \left( \dot{w}_r - \frac{\partial u_r}{\partial t} \right), \quad \frac{k}{\mu} \frac{\partial p}{\partial z} = -m_0 \left( \dot{w}_z - \frac{\partial u_z}{\partial t} \right)$$

и уравнений неразрывности для твердой и жидкой фаз:

$$(1.3) \quad \frac{\partial m}{\partial t} + \frac{\beta_1}{3} \frac{\partial \theta^f}{\partial t} - \beta_1 (1-m_0) \frac{\partial p}{\partial t} - (1-m_0) \frac{\partial e}{\partial t} = 0;$$

$$(1.4) \quad \frac{\partial m}{\partial t} + \beta_2 m_0 \frac{\partial p}{\partial t} - m_0 \left( \frac{\partial w_r}{\partial r} + \frac{w_r}{r} + \frac{\partial w_z}{\partial z} \right) = 0;$$

$$(1.5) \quad \theta^f = \sigma_{rr}^f + \sigma_{\theta\theta}^f + \sigma_{zz}^f = 2G(1-m_0)(1+\nu)(1-2\nu)^{-1}e + 3\varepsilon p.$$

Здесь переменными являются отклонения от стационарных значений величин и приняты следующие обозначения:  $m$  — пористость ( $m_0$  — ее начальное значение);  $u_i$  — компонента перемещения твердой фазы;  $w_i$  — компонента скорости движения жидкости;  $e$  — объемная деформация твердой фазы;  $p$  — поровое давление;  $\sigma_{ij}$  — напряжение в твердой фазе;  $\sigma_{ij}^f$  — эффективное напряжение Терцаги;  $\theta^f$  — его первый инвариант;  $k$  — проницаемость;  $\mu$  — вязкость жидкости;  $\beta_1$  и  $\beta_2$  — коэффициенты сжимаемости материала твердой и жидкой фаз;  $K, G, \nu$  — модули сжатия, сдвига и коэффициент Пуассона матрицы пласта.

Пусть вязкая жидкость отбирается из замкнутого пласта радиуса  $R$  и мощности  $2h$  через плоскую горизонтальную трещину радиуса  $\rho$  с дебитом  $Q(t)$ . В случае высокоеффективного крупномасштабного гидроразрыва [2] радиус  $\rho$  может быть сравним с  $R$  и значительно превосходить  $h$ . Для упрощения примем, что депрессия в пласте из-за отбора жидкости не вызывает изменения полного напряжения, иначе говоря, горного дав-

ления  $\Gamma_{ij}^0$ , действующего на внешние контуры пласта со стороны вмещающих массивов. Соответственно на границах пласта — массив  $\Gamma_{ij}^0 = \text{const}$  и приращения горного давления равны нулю:  $\Gamma_{ij} = \sigma_{ij}^f - p\delta_{ij} = 0$ .

Систему координат выберем так, чтобы начало совпадало с центром

трещины и пласта (фиг. 1, а). В силу симметричности граничных условий можно ограничиться рассмотрением области  $z \geq 0$ , т. е. рассматриваемая задача соответствует также отбору жидкости через трещину в кровле или в подошве пласта мощности  $h$  (фиг. 1, б).

2. Границные условия для бесконечного пласта имеют вид

$$(2.1) \quad \Gamma_{zz} = 0, \quad \sigma_{rz}^f = 0, \quad \partial p / \partial z = 0 \quad (z = h, 0 \leq r < \infty);$$

$$(2.2) \quad \sigma_{rz}^f = 0, \quad u_z = 0 \quad (z = 0, 0 \leq r < \infty);$$

$$(2.3) \quad \partial p / \partial z = 0 \quad (\rho \leq r < \infty, z = 0), \quad p = p_*(t) \quad (0 \leq r < \rho, z = 0),$$

начальные условия

$$(2.4) \quad p = p_0, \quad u_i = 0, \quad \sigma_{ij}^f = 0.$$

Изменения норового давления  $p$  по мощности пласта  $h$  меньше, чем характерные изменения по  $r$ , а потому в уравнениях (1.1) допустимо приближенно заменить  $p(r, z, t)$  на средневзвешенное по мощности пласта давление  $p^*(r, t)$ :

$$(2.5) \quad p^*(r, t) = \frac{1}{h} \int_0^h p(r, z, t) dz, \quad \partial p^*/\partial z = 0.$$

Применим интегральные преобразования Ганкеля [3] первого порядка к первому уравнению (1.1) и нулевого порядка — ко второму уравнению (1.1). Тогда получим соответственно

$$(2.6) \quad \frac{\partial^2 \bar{u}_r}{\partial z^2} - a\xi^2 \bar{u}_r - b\xi \frac{\partial \bar{u}_r}{\partial z} + c\xi \bar{p}^* = 0,$$

$$a \frac{\partial^2 \bar{u}_z}{\partial z^2} - \xi^2 \bar{u}_z + b\xi \frac{\partial \bar{u}_z}{\partial z} = 0,$$

где  $a = 2(1-v)/(1-2v)$ ;  $b = (1-2v)^{-1}$ ;  $c = (1-\varepsilon)/[2G(1-m_0)]$ ;

$$\bar{u}_r = \int_0^\infty r u_r(r, z, t) J_1(\xi r) dr; \quad \bar{u}_z = \int_0^\infty r u_z(r, z, t) J_0(\xi r) dr;$$

$$\bar{p}^* = \int_0^\infty r p^*(r, t) J_0(\xi r) dr \quad \text{и считаются выполненными условия}$$

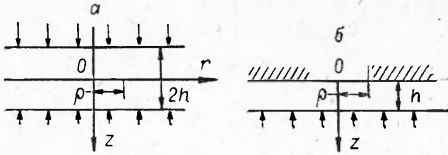
$$r^2 \partial u_r / \partial r \rightarrow 0, \quad r u_r \rightarrow 0 \quad (r \rightarrow 0),$$

$$\sqrt{r} \partial u_r / \partial r \rightarrow 0, \quad \sqrt{r} u_r \rightarrow 0 \quad (r \rightarrow \infty).$$

Решения уравнений (2.6) будем искать в виде

$$(2.7) \quad \begin{aligned} \bar{u}_r &= [A(\xi) + \xi z B(\xi)] e^{\xi z} \xi^{-1} + [C(\xi) + \xi z D(\xi)] e^{-\xi z} \xi^{-1} + \bar{p}^* \xi^{-1}, \\ \bar{u}_z &= [-A(\xi) + B(\xi)(3 - 4v - \xi z)] e^{\xi z} \xi^{-1} + [C(\xi) + \\ &\quad + (3 - 4v + \xi z) D(\xi)] e^{-\xi z} \xi^{-1}. \end{aligned}$$

Функции  $A(\xi)$ ,  $B(\xi)$ ,  $C(\xi)$ ,  $D(\xi)$  должны подбираться по граничным условиям (2.1), (2.2). Если применить преобразования Ганкеля к соотношениям



Фиг. 1

(1.2)–(1.5), то с учетом (2.7) можно получить уравнение

$$(2.8) \quad \frac{\partial \bar{p}}{\partial t} + \gamma \frac{\partial \bar{p}}{\partial z} \varphi(\xi h) \operatorname{ch}(\xi z) + \left( \xi^2 \bar{p} - \frac{\partial^2 \bar{p}}{\partial z^2} \right) k(\alpha\mu)^{-1} = 0,$$

где  $\bar{p} = \int_0^\infty p(r, z, t) r J_0(\xi r) dr$ ;  $\varphi(\xi h) = 2\operatorname{sh}(\xi h)/(\operatorname{sh}(2\xi h) + 2\xi h)$ ;

$$\alpha = (1 - m_0)(1 - \beta_1 K)(\beta_1 + g) + m_0(\beta_2 + g); \quad \gamma = (1 - \varepsilon)^2 (1 - 2v)^2 / 2G \times \\ \times (1 - m_0)(1 - v)\alpha.$$

Если теперь проинтегрировать соотношение (2.8) по  $z$  от 0 до  $h$  и поделить на  $h$ , то получим уравнение относительно трансформанты средневзвешенного давления  $\bar{p}^*$ :

$$(2.9) \quad \frac{\partial \bar{p}^*}{\partial t} - \gamma \psi(\xi h) \frac{\partial \bar{p}^*}{\partial z} + k(\alpha\mu)^{-1} \xi^2 \bar{p}^* = k(\alpha\mu)^{-1} \frac{1}{h} \left( \frac{\partial \bar{p}}{\partial z} \right) \Big|_0^h,$$

где  $\psi(\xi h) = 2\operatorname{sh}^2(\xi h)/[\xi h(\operatorname{sh}(2\xi h) + 2\xi h)]$ .

Воспользовавшись методом [4], заменим неоднородное граничное условие (2.3) на однородное при  $z = 0$ :

$$(2.10) \quad \begin{aligned} \frac{\partial p}{\partial z} &= Q(t)\mu/(2\pi kh\rho\sqrt{\rho^2 - r^2}) \quad (0 \leq r < \rho), \\ \frac{\partial p}{\partial z} &= 0 \quad (\rho \leq r < \infty), \end{aligned}$$

причем  $Q(t)$  — такой же расход жидкости, как и при условии (2.3).

Применим к условию (2.10) преобразование Ганкеля нулевого порядка и подставим полученное выражение в уравнение (2.9). Тогда удается исключить значения градиента  $\partial \bar{p}/\partial z$  и получить эффективное уравнение

$$(2.11) \quad \frac{\partial \bar{p}^*}{\partial t} (1 + \gamma \psi(\xi h)) + k \xi^2 (\alpha\mu)^{-1} \bar{p}^* = Q(t) \sin(\xi\rho) / 2\pi\alpha h \rho \xi.$$

Решение уравнения (2.11) при  $\bar{p}^*(\xi, 0) = 0$  (ср. [5]) имеет вид

$$(2.12) \quad \int_0^\infty \bar{p}^*(\xi, t) e^{-st} dt = -\mu [2\pi kh\xi\rho] (st(\xi h) + \xi^2)^{-1} \sin(\xi\rho) \int_0^t Q(t) e^{-st} dt,$$

где  $\tau(\xi h) = [\mu\alpha(1 + \gamma/2)][k(1 + \Phi(\xi h))]^{-1}$ ;

$$\Phi(\xi h) = (\gamma/2)[\xi h(\operatorname{sh}(2\xi h) + 2\xi h) - 4\operatorname{sh}^2(\xi h)]/[2\gamma\operatorname{sh}^2(\xi h)] + \\ + \xi h(\operatorname{sh}(2\xi h) + 2\xi h).$$

В случае очень тонкого пласта  $\xi h \rightarrow 0$  и  $\Phi(\xi h) \rightarrow 0$ , а для пласта большой мощности  $\xi h \rightarrow \infty$ ,  $\Phi(\xi h) \rightarrow \gamma/2$ .

Если на трещине задается постоянный дебит

$$Q(t) = Q_0 U(t), \quad U(t) = \begin{cases} 0, & t \leq 0, \\ 1, & t > 0, \end{cases}$$

то  $\tilde{Q}(s) = Q_0 s^{-1}$  и из уравнения (2.12) следует

$$(2.13) \quad \int_0^\infty \bar{p}^*(\xi, t) e^{-st} dt = -(\mu Q_0 / 2\pi kh) \sin(\xi\rho) / (s\xi\rho (st(\xi h) + \xi^2)).$$

Распределение средневзвешенного давления в пласте получается из (2.13) путем последовательного применения обратных преобразований Лапласа и Ганкеля:

(2.14)

$$p^*(r, t) = -Q_0 \mu / (2\pi kh) \int_0^\infty \sin(\xi\rho) (1 - \exp(-t\xi^2/\tau(\xi h))) J_0(\xi r) \xi^{-2} \rho^{-1} d\xi.$$

Для тонкого пласта из (2.14) следует

$$(2.15) \quad p^*(r, t) = -Q_0\mu/(2\pi kh) \int_0^\infty \sin(\xi\rho)(1 - \exp(-t\xi^2\varkappa)) J_0(\xi r)(\xi^2\rho)^{-1} d\xi,$$

что совпадает с решением задачи в упруголокальной постановке [5] при  $\varkappa = \mu/[k\alpha(1 + \gamma/2)]$ . Если пласт представлен идеально сцепленной пористой средой [1], то  $\varepsilon = 1$ ,  $\gamma = 0$  и из (2.14) следует (2.15) при  $\varkappa = \mu/[km_0(\beta_2 - \beta_1)]$ . В этом случае эффективная упругоемкость пласти определяется лишь разницей сжимаемостей твердой и жидкой фаз, иначе говоря, локальноупругие решения получаются из (2.14), если пласт очень тонкий или если деформация пласти обусловлена сжимаемостью фаз, а перемещением твердых частиц относительно друг друга пренебрегается.

Если же пласт представлен мягкой несцепленной породой, то деформации обусловлены смещением твердых частиц относительно друг друга. При этом  $\varepsilon \ll 1$ ,  $\gamma \approx 1-2\nu$ , а потому

$$(2.16) \quad \tau(\xi h) = [\mu(1 - 2\nu)(3 - 2\nu)/4kG(1 - m_0)(1 - \nu)][1 + \Phi(\xi h)]^{-1}.$$

Из (2.7), (2.14) получаются уравнения для определения перемещений  $u_r$  и  $u_z$  в пласте:

$$\begin{aligned} u_r &= \int_0^\infty \bar{p}^*(\xi, t) \{g\varphi(\xi h)[\xi z \operatorname{sh}(\xi z) + \operatorname{ch}(\xi z)(1 - 2\nu - \xi h \operatorname{cth}(\xi h))] + 1\} \times \\ &\quad \times J_1(\xi r) d\xi, \\ u_z &= \int_0^\infty \bar{p}^*(\xi, t) g\varphi(\xi h) \{\operatorname{sh}(\xi z)[2(1 - \nu) + \xi h \operatorname{cth}(\xi h)] - \\ &\quad - \xi z \operatorname{ch}(\xi z)\} J_0(\xi r) d\xi. \end{aligned}$$

Пусть давление на трещине  $p_*(t)$  равно давлению, осредненному по ее площади:

$$p_*(t) = \langle p^* \rangle = \frac{2}{\rho^2} \int_0^\rho r p^*(r, t) dr.$$

Тогда

$$p_*(t) = -\frac{Q_0\mu}{2\pi kh} \int_0^\infty \sin(\xi\rho)(\xi^3\rho^2)^{-1} [1 - \exp(-t\xi^2/\tau(\xi h))] J_1(\xi\rho) d\xi.$$

3. Если пласт ограничен непроницаемым контуром радиуса  $R$ , то на контуре можно задать граничные условия:

$$(3.1) \quad u_r = 0, \quad \sigma_{rz}^f = 0, \quad \partial p / \partial r = 0 \quad (r = R, \quad 0 \leq z \leq h).$$

Тогда для решения системы уравнений (1.1)–(1.4) при сохранении условий (2.1)–(2.3) следует использовать интегральные преобразования Ганкеля в конечном интервале [3]:

$$\begin{aligned} (3.2) \quad \bar{u}_r(\xi, z, t) &= \int_0^R r u_r(r, z, t) J_1(\xi r) dr, \\ \bar{u}_z(\xi, z, t) &= \int_0^R r u_z(r, z, t) J_0(\xi r) dr, \quad \bar{p}^*(\xi, t) = \int_0^R r p^*(r, t) J_0(\xi r) dr. \end{aligned}$$

Вновь заменим в уравнениях (1.1) поровое давление  $p(t, z, r)$  на среднезвешенное  $p^*(r, t)$ . Интегрируя (1.1) по частям и учитывая граничные условия (3.1), получим уравнения

$$\begin{aligned} (3.3) \quad \frac{\partial^2 \bar{u}_r}{\partial z^2} - a\xi^2 \bar{u}_z - b\xi \frac{\partial \bar{u}_z}{\partial z} + c\xi \bar{p}^* + \left[ a \frac{\partial u_r}{\partial r} + b \frac{\partial u_z}{\partial z} - c p^* \right]_R R J_1(\xi R) &= 0, \\ a \frac{\partial^2 \bar{u}_z}{\partial z^2} - \xi^2 \bar{u}_z - b\xi \frac{\partial \bar{u}_z}{\partial z} + [u_z]_R \xi R J_1(\xi R) &= 0. \end{aligned}$$

Если в (3.3) выбрать величину  $\xi$  так, чтобы она являлась корнем уравнения

$$(3.4) \quad \xi_i R J_1(\xi_i R) = 0,$$

то для обращения выражений (3.2) используются соотношения [3]

$$(3.5) \quad u_r(r, z, t) = \frac{2}{R^2} \sum_i \bar{u}_r(\xi_i, z, t) \frac{J_1(\xi_i r)}{[J_0(\xi_i R)]^2},$$

$$u_z(r, z, t) = \frac{2}{R^2} \sum_i \bar{u}_z(\xi_i, z, t) \frac{J_0(\xi_i r)}{[J_0(\xi_i R)]^2}, \quad p^*(r, t) =$$

$$= \frac{2}{R^2} \sum_i \bar{p}^*(\xi_i, t) \frac{J_0(\xi_i r)}{[J_0(\xi_i R)]^2}.$$

Здесь сумма берется по всем положительным корням уравнения (3.4). Тогда уравнения (3.3) будут иметь вид (2.6), а их решения — (2.7), но вместо  $\xi$  всюду будут фигурировать значения  $\xi_i$ . Аналогично получим выражение для средневзвешенного норового давления:

$$(3.6) \quad \bar{p}^*(\xi_i, t) = (-Q_0 \mu / (\pi k h)) \sin(\xi_i \rho) [1 - \exp(-t \xi_i^2 / \tau(\xi_i h))] \rho^{-1} \xi_i^{-2}.$$

Обращение (3.6), согласно (3.5), дает решение в виде

$$(3.7) \quad p^*(r, t) = (-Q_0 \mu / (\pi k h)) 2R^{-2} \sum_i \sin(\xi_i \rho) [1 -$$

$$- \exp(-t \xi_i^2 / \tau(\xi_i h))] \frac{J_0(\xi_i r)}{[J_0(\xi_i R)]^2} \rho^{-1} \xi_i^{-2}.$$

Для больших значений  $\xi_i R$  можно воспользоваться асимптотическими разложениями функций Бесселя [4]:

$$(3.8) \quad J_0(R\xi_i) \approx \sqrt{2/(\pi R \xi_i)} \cos(R\xi_i - \pi/4),$$

$$J_1(R\xi_i) \approx \sqrt{2/(\pi R \xi_i)} \cos(R\xi_i - 3\pi/4).$$

В соответствии с формулами (3.4), (3.8) имеем

$$\sqrt{2\xi_i/\pi\rho} \sin(\xi_i R - \pi/4) = 0, \quad \xi_i R = \pi i - \pi/4,$$

$$\Delta\xi_i = \xi_i - \xi_{i-1} = \pi/R.$$

Теперь ряд (3.7) можно преобразовать к виду

$$p^*(r, t) = (-Q_0 \mu / (\pi k h)) \sum_i \sin(\xi_i \rho) \left(1 - e^{-t \xi_i^2 / \tau(\xi_i h)}\right) \frac{\pi}{\xi_i^2 R} J_0(\xi_i r).$$

При  $\xi_i R \rightarrow 0$ ,  $\Delta\xi_i \rightarrow d\xi_i$  можно заменить сумму на интеграл:

$$p^*(r, t) = (-Q_0 \mu / (\pi k h)) \lim_{\xi_i R \rightarrow \infty} \sum_i \frac{\sin(\xi_i \rho)}{\xi_i^2 \rho} \left(1 - e^{-t \xi_i^2 / \tau(\xi_i h)}\right) J_0(r \xi_i) \Delta \xi_i =$$

$$= (-Q_0 \mu / (\pi k h)) \int_0^\infty \sin(\xi_i \rho) (\xi_i^2 \rho)^{-1} \left(1 - e^{-t \xi_i^2 / \tau(\xi_i h)}\right) J_0(r \xi_i) d\xi_i,$$

что вновь приводит к решению для неограниченного пласта (2.14). Для перемещений получим выражения

$$u_r = (2/R^2) \sum_i (\bar{p}^*(\xi_i, t)/\xi_i) \{g\varphi(\xi_i h) [\xi_i z \operatorname{sh}(\xi_i z) +$$

$$+ \operatorname{ch}(\xi_i z) (1 - 2v - \xi_i h \operatorname{cth}(\xi_i h))] + 1\} J_1(\xi_i r)/[J_0(R\xi_i)]^2,$$

$$u_z = (2/R^2) \sum_i (\bar{p}^*(\xi_i, t)/\xi_i) g\varphi(\xi_i h) \{\operatorname{sh}(\xi_i z) [2(1+v) + \xi_i h \operatorname{cth}(\xi_i h)] -$$

$$- \xi_i z \operatorname{ch}(\xi_i z)\} J_0(\xi_i r)/[J_0(R\xi_i)]^2.$$

**4.** Пусть матрица пласта обладает ползучестью, обусловленной реологическими свойствами связей между твердыми частицами, причем  $\varepsilon \ll 1$ . В этом случае модули, относящиеся к деформациям переупаковки, представляют собой временные операторы. Для линейного вязкоупругого материала это дифференциальные или интегральные операторы [6].

Если на границах пласта и на трещине тип граничных условий не изменяется в течение всего процесса, то возможно применение принципа Вольтерра [7], а именно: решение вязкоупругой задачи можно найти, заменив в решении аналогичной упругой задачи, полученном методом интегрального преобразования Лапласа, все упругие константы на трансформанты по Лапласу от соответствующих операторов с последующим обращением нового решения.

Найдем решение для вязкоупругого пласта с помощью принципа Вольтерра. При условии  $\varepsilon \ll 1$   $\gamma = 1 - 2\nu$ , и функция  $\tau(\xi h)$  задана выражением (2.16). Если  $v = \text{const}$ , то временным оператором является лишь один модуль, например, модуль сдвига  $G$ . Определим вид трансформанты  $\tilde{G}(s)$  оператора  $G(t)$ . Ограничимся вязкоупругой моделью Максвелла [6]. Тогда одноосное сжатие сухого пористого пласта описывается уравнением

$$(4.1) \quad \frac{\partial \sigma_{ii}^f}{\partial t} + \frac{\sigma_{ii}^f}{\theta} = E \frac{\partial}{\partial t} \left( \frac{\partial u_i}{\partial x_i} \right),$$

где  $E$  — мгновенный модуль Юнга;  $\eta$  — вязкость;  $\theta = \eta/E$  — время релаксации матрицы. Эти параметры можно определить из опытов на ползучесть при одномерном сжатии, т. е. при реологическом испытании типа (4.1).

Применим к (4.1) преобразование Лапласа и с учетом начального условия  $\sigma_{ii}^f(i, 0) = E \partial u_i / \partial x_i$  получим

$$(4.2) \quad \tilde{\sigma}_{ii}^f(s + 1/\theta) = Es \partial u_i / \partial x_i.$$

Отсюда для оператора  $\tilde{E}(s)$  получим выражение

$$\tilde{E}(s)(1 - m_0) = \tilde{\sigma}_{ii}^f / (\partial u_i / \partial x_i) = Es(s + 1/\theta)^{-1}.$$

Следовательно,

$$(4.3) \quad \begin{aligned} \tilde{G}(s)(1 - m_0) &= \tilde{E}(s)(1 - m_0)/2(1 + \nu) = \\ &= Es[2(1 + \nu)(s + 1/\theta)]^{-1}. \end{aligned}$$

Из (2.16), (4.3) найдем для вязкоупругой  $\tau'(\xi h)$  и упругой  $\tau(\xi h)$  функций выражения

$$(4.4) \quad \tau'(\xi h) = \tau(\xi h)(1 + (s\theta)^{-1}),$$

$$\tau(\xi h) = \mu(1 - 2\nu)(1 + \nu)(3/2 - \nu)/kE(1 - \nu)(1 + \Phi(\xi h))^{-1}.$$

Подставляя (4.4), (2.16) в решение для поля давления в неограниченном упругом пласте (2.14), получим вязкоупругое решение

$$(4.5) \quad \int_0^\infty \bar{p}^*(\xi, t) e^{-st} dt = \xi \rho (-Q_0 \mu / 2\pi kh) \sin(\xi \rho) / s (\tau(\xi h)(s + \theta^{-1}) + \xi^2).$$

Последовательное обращение (4.5) по правилам для преобразований Лапласа и Ганкеля дает результат

$$(4.6) \quad p^*(r, t) = (-Q_0 \mu / 2\pi kh) \int_0^\infty \sin(\xi \rho) (1 - \exp(-(s + \theta^{-1}) + \xi^2 / \tau(\xi h)t)) \times \\ \times J_0(\xi r) (\rho(\tau(\xi h)/\theta + \xi^2))^{-1} d\xi.$$

Аналогично для замкнутого пласта получим

$$(4.7) \quad p^*(r, t) = (-Q_0 \mu / 2\pi kh) 2R^{-2} \sum_i \sin(\xi_i \rho) (1 - \exp(-t(\theta^{-1} + \xi_i^2 / \tau(\xi_i h)))) J_0(\xi_i r) / ([J_0(R \xi_i)]^2 \rho(\tau(\xi_i h)/\theta + \xi_i^2)).$$

Решения (4.6), (4.7) при  $\tau(\xi h)\xi^2/\theta \rightarrow \infty$  переходят в решения (2.14), (3.7), соответствующие упругому пласту.

5. Если ввести безразмерные величины:  $x = \xi\rho$ ,  $h' = h/\rho$ ,  $p' = -p_* 2\pi kh/Q_0\mu$ ,  $\theta' = \tau(xh')\rho^2\theta^{-1}$ ,  $T = t(1 + \Phi(\xi h))/\tau\rho^2$ , то из решения для бесконечного пласта (2.14) следует результат для среднего давления в «окне»

$$(5.1) \quad \langle p' \rangle = \int_0^\infty \sin x [1 - \exp(-Tx^2(1 + \Phi(xh')))] J_1(x)x^{-3} dx.$$

Осредняя вязкоупругое решение (4.6) по площади трещины, можно получить в безразмерном виде

$$(5.2) \quad \langle p' \rangle = \int_0^\infty \sin x [1 - \exp(-T(\theta' + x^2(1 + \Phi(xh'))))] J_1(x)(x(\theta'(1 + \Phi(xh'))^{-1} + x^2))^{-1} dx.$$

Для замкнутого пласта введем безразмерные величины:  $x_i = \xi_i R$ ,  $\rho' = \rho/R$ ,  $h' = h/R$ ,  $T = t(1 + \Phi(\xi_i h))/\tau(\xi_i h)R^2$ ,  $\theta' = \tau(x_i h)R^2\theta^{-1}$ ,  $p' = -p_*(t) 2\pi kh/Q_0\mu$ .

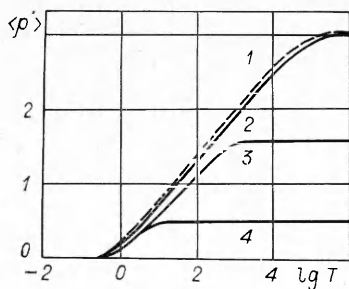
Осредняя выражения (3.7), (4.7) по площади на трещине, можно записать в безразмерном виде упругое решение

$$(5.3) \quad \langle p' \rangle = \sum_{i=1}^\infty \sin(x_i \rho') (x_i \rho')^{-2} [1 - \exp(-Tx_i^2(1 + \Phi(x_i h')))] J_1(x_i \rho') / [J_0(x_i) x_i]^2$$

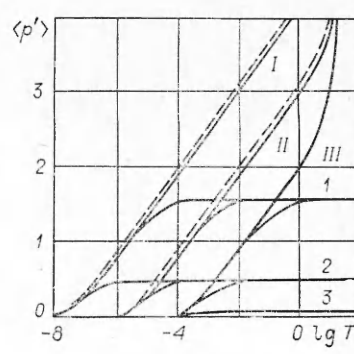
и вязкоупругое решение

$$(5.4) \quad \langle p' \rangle = \sum_{i=1}^\infty \sin(x_i \rho') [1 - \exp(-T(x_i^2(1 + \Phi(x_i h')) + \theta'))] (1 + \Phi(x_i h')) (x_i \rho')^{-2} ((1 + \Phi(x_i h')) x_i^2 + \theta')^{-1} J_1(x_i \rho') [J_0(x_i)]^{-2}.$$

Для конкретного расчета на ЭВМ в выражениях (5.1), (5.2) принимались следующие значения величин:  $\mu\alpha k^{-1} = 0,96$ ,  $\gamma = 0,6$ ,  $\theta' = 2 \times 10^{-3}(\rho)^2$ , значения  $\rho$  и  $h'$  варьировались. Зависимость решения от  $h'$  в диапазоне  $0,01 \leq h' \leq 10$  (при указанных значениях остальных параметров) очень слабая. Изменение составляет не более 5% от решения при  $h' = 0,1$ ,  $\lg T = 2$ . На фиг. 2 приведены кривые зависимости безразмерного давления  $\langle p' \rangle$  от безразмерного времени  $T$ . Кривые 1 и 2 соответствуют решению в упруголокальной (2.15) и упругонелокальной (5.1) постановке задачи для бесконечного пласта, кривые 3 и 4 — вязкоупругому решению (5.2) при  $\theta' = 0,002$  и  $0,2$ . Характер изменения  $\langle p' \rangle$  от  $T$  показывает, что время выхода на установившийся режим и значение



Фиг. 2



Фиг. 3

давления  $p'$  в этом режиме зависят от времени релаксации матрицы и относительных размеров «окна».

На фиг. 3 приведены кривые зависимости давления  $p'$  от безразмерного времени для замкнутого пласта. Сплошные линии I—III соответствуют упругому решению при значениях  $\rho' = 10^{-4}; 10^{-3}; 10^{-2}$ . Для сравнения даны две штриховые кривые, соответствующие упругому локальному решению при  $\Phi(\xi_i h) = 0$ . В упругом пласте процесс не выходит на установившийся режим, а влияние контура пласта вызывает неограниченный рост давления  $\langle p' \rangle$ , необходимого для сохранения постоянного дебита. Кривые I—3 соответствуют вязкоупругому решению (5.4) при  $\theta' = 2 \cdot 10^3; 2 \cdot 10^5; 2 \cdot 10^7$ .

Зависимость безразмерного давления на трещине от значений вязкости матрицы пласта и радиуса трещины в вязкоупругих решениях (5.1), (5.4) одинаковая. Чем меньше вязкость матрицы пласта и чем больше радиус трещины, тем быстрее наступает установившийся режим и тем меньше изменение давления при этом.

Выбор оптимальных параметров «окна» и условий отбора тем самым связан с релаксационными параметрами матрицы деформируемого пласта.

Авторы признательны Э. А. Бондареву за внимание к работе.

Поступила 8 VI 1982

#### ЛИТЕРАТУРА

1. Николаевский В. Н., Басниев К. С. и др. Механика насыщенных пористых сред. М.: Недра, 1970.
2. Fast C. R., Holman G. B., Covlin R. The application of massive hydraulic fracturing to the tight Muddy «J» formation. Watteberg field, Colorado.— J. Petrol. Technol., 1977, vol. 29, p. 10.
3. Снеддон И. Преобразования Фурье. М.: ИЛ, 1955.
4. Грей Э., Мэтьюз Г. Б. Функции Бесселя и их приложения к физике и механике. М.: ИЛ, 1955.
5. Николаевский В. Н. Приток жидкости к горизонтальной трещине в пласте.— Изв. АН СССР. ОТН, 1958, № 7.
6. Кристенсен Р. Введение в теорию вязкоупругости. М.: Мир, 1974.
7. Работнов Ю. Н. Элементы наследственной механики твердых тел. М.: Наука, 1977.

УДК 538,4 : 538.665

#### ТЕЧЕНИЕ НАМАГНИЧИВАЮЩЕЙСЯ ЖИДКОСТИ ПРИ ТЕМПЕРАТУРЕ, БЛИЗКОЙ К ТОЧКЕ КЮРИ

B. И. Вишняков, И. Ф. Султанов, И. А. Федотов

(Москва)

В настоящее время намагничивающиеся жидкости находят широкое применение в различных областях теплоэнергетики. Такие жидкости успешно могут выполнять роль теплоносителя в тех случаях, где применение обычных жидкостей связано с дополнительными устройствами и энергетическими затратами, например в условиях невесомости. Возможность применения намагничивающихся жидкостей в качестве рабочего тела ФГД-генератора [1] открывает новые широкие перспективы прямого преобразования тепловой энергии в электрическую. Эффективность работы теплообменных аппаратов и энергетических установок в значительной степени определяется рабочей температурой намагничивающейся жидкости. Наибольший энергетический эффект во многих случаях достигается при температуре, близкой к точке Кюри [1]. Однако вблизи этой температуры намагничивающиеся жидкости частично теряют свои магнитные свойства, что, естественно, отражается на характере течения. Кроме того, на характер течения будет оказывать влияние и магнетокалорический эффект, который в этом случае максимален [2]. Отметим, что хотя это и слабый эффект, тем не менее вызванное им перераспределение температуры по сечению канала в установившемся режиме оказывается существенным.

Ниже рассмотрено неизотермическое стационарное течение непроводящей и несжимаемой намагничивающейся жидкости в плоском канале, находящейся при температуре, близкой к точке Кюри. Считаем, что жидкость намагнечена до насыщения сильным внешним магнитным полем напряженности  $H$ , направленным поперек канала. Вслед-